

内部に軸方向鉄筋を有する長方形断面
コンクリート梁の波動分散特性について

北大工学部 正量 能町純雄
土質工学研究所 同 杉田信一
北見工業大学 同 口大島俊之

1. まえがき

著者らは先に有限プリズム要素の関係式を Galerkin 法により説明し、内部に等間隔、軸方向に配列された鉄筋を有する弾性体を对象とする静的三次元応力解析を行なつて¹⁾が、今回上記プリズム要素の関係式を動的波動問題につけて求め、長方形断面コンクリート梁に鉄筋の配置によって生じる構造につけて、位相速度分散曲線、軸方向割正モードを描いて、鉄筋の波動分散曲線に対する効果などを調べた。また、波動エネルギーと伝播速度と呼ばれる群速度についても考察した。

二の種の波動的研究は二軸子ひずみは多くないが²⁾、補強筋がない長方形断面梁に関するもの L. Rayleigh²⁾, S. P. Timoshenko³⁾, E. Volterra⁴⁾, R. D. Mindlin⁵⁾, O. L. Engström⁶⁾などの研究がある。また平板構造についても井口⁷⁾など非常に多く研究がある。⁸⁾

2. 7*17*4要素の動的関係式^{1), 9)}

$$\frac{\partial \sigma_x}{\partial x} + \frac{\partial \tau_{xy}}{\partial y} + \frac{\partial \tau_{xz}}{\partial z} = \rho \frac{\partial^2 u}{\partial t^2} \quad (1)$$

$$\frac{\partial \tau_{xy}}{\partial x} + \frac{\partial \sigma_y}{\partial y} + \frac{\partial \tau_{yz}}{\partial z} = \rho \frac{\partial^2 v}{\partial t^2} \quad (2)$$

$$\frac{\partial \tau_{xz}}{\partial x} + \frac{\partial \tau_{yz}}{\partial y} + \frac{\partial \sigma_z}{\partial z} = \rho \frac{\partial^2 w}{\partial t^2} \quad (3)$$

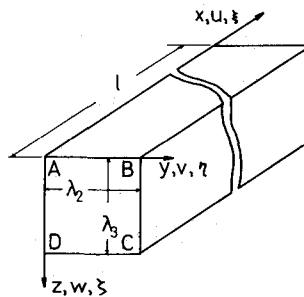
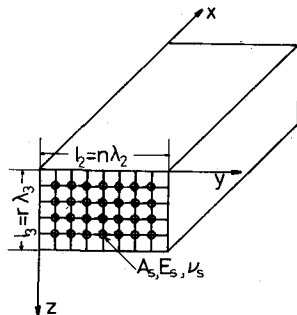


図1 7*17*4要素

図2 補強筋を有する
コンクリートばかり

ρ = 密度, σ = 動的応力式, τ = 三次元弹性論による応力と変位の関係式を代入し、それを $f^u(\eta), f^u(\zeta), f^u(1-\eta), f^u(1-\zeta), f^u(1-\eta) \cdot f^u(1-\zeta), f^u(\eta) \cdot f^u(1-\zeta)$ を乗じて、 x, y, z 方向に定積分を行なうと、Galerkin 法により、A, B, C, D 各移動ベクトル T, Y, Z と各移動変位の動的関係式が得られる。ここで $f^u(\alpha) = 1 - \alpha$, $f^u(1 - \alpha) = \alpha$, $\alpha = \eta / \lambda_2$ 又は ζ / λ_3 。

$$\begin{bmatrix} U \\ V \\ W \end{bmatrix} = \begin{bmatrix} U_A & U_B & U_C & U_D \\ V_A & V_B & V_C & V_D \\ W_A & W_B & W_C & W_D \end{bmatrix} \begin{bmatrix} f^u(\eta) \cdot f^u(\zeta) \\ f^u(1-\eta) \cdot f^u(1-\zeta) \\ f^u(1-\eta) \cdot f^u(1-\zeta) \\ f^u(\eta) \cdot f^u(1-\zeta) \end{bmatrix} \quad (4)$$

また、変位は次のように定められ、 x 方向への進行波を假定する。

$$U = U_0 \cos \frac{2\pi}{l} (x - ct), \quad V = V_0 \sin \frac{2\pi}{l} (x - ct); \quad W = W_0 \sin \frac{4\pi}{l} (x - ct) \quad (5)$$

EML, C = 位相速度, l = 波長, $\exists \in U, V, W$ は 未知数 U, V, W の 線幅をあらわす。

3. 動的基本式の誘導と固有方程式¹⁾

以上のように要素は実可動的関係式を用ひる。図2に示すような構造はつる、内部の線に会する各種の力があり次の条件より動的基本式が連立微分差分方程式の形で求められる。この際軸方向補強筋を棱線に集中する断面積を L_2 、力あたりの中に組み入れてある。

$$\begin{bmatrix} L_{11} & L_{12} & L_{13} \\ L_{22} & L_{23} \\ \text{sym.} & L_{33} \end{bmatrix} \begin{bmatrix} S_j S_k [U y_2] \\ R_j S_k [V y_2] \\ S_j R_k [W y_2] \end{bmatrix} = \begin{bmatrix} N_{11} & N_{12} & N_{13} & N_{14} & N_{15} \\ N_{21} & N_{22} & N_{23} & N_{24} & N_{25} \\ N_{31} & N_{32} & N_{33} & N_{34} & N_{35} \end{bmatrix} \begin{bmatrix} U_{00} \\ S_j [U y_0] \\ S_k [U_{02}] \\ R_j [V y_0] \\ R_k [W_{02}] \end{bmatrix} \quad \cdots (4)$$

EML

$$L_{11} = (1 - \frac{C_p^2}{C_s^2}) \lambda_2 \lambda_3 \bar{D}_j \bar{D}_k (\frac{2\pi}{l})^2 + \frac{C_p^2}{C_s^2} \left\{ \frac{\lambda_3}{\lambda_2} D_j \bar{D}_k + \frac{\lambda_2}{\lambda_3} D_k \bar{D}_j \right\} + 2(1 + \nu_s) \frac{C_p^2}{C_s^2} A_s (\frac{2\pi}{l})^2$$

$$L_{22} = (1 - \frac{C_p^2}{C_s^2}) \lambda_2 \lambda_3 \bar{D}_k \bar{D}_j (\frac{2\pi}{l})^2 + \frac{C_p^2}{C_s^2} \frac{\lambda_3}{\lambda_2} D_j \bar{D}_k + \frac{\lambda_2}{\lambda_3} D_k \bar{D}_j, \quad L_{12} = (1 - \frac{C_p^2}{C_s^2}) \lambda_3 \sin \frac{j\pi}{n} \bar{D}_k (\frac{2\pi}{l})$$

$$L_{23} = (\frac{C_p^2}{C_s^2} - 1) \sin \frac{j\pi}{n} \sin \frac{k\pi}{r}, \quad N_{11} = \frac{1}{8} \frac{C_p^2}{C_s^2} \left(\frac{\lambda_2}{\lambda_2} + \frac{\lambda_3}{\lambda_3} \right) - (1 - \frac{C_p^2}{C_s^2}) \frac{\lambda_2 \lambda_3}{36} (\frac{2\pi}{l})^2 a b \sin \frac{j\pi}{n} \sin \frac{k\pi}{r}$$

$$L_{31} = \frac{\lambda_3}{6} \left(\frac{C_p^2}{C_s^2} - 1 \right) \frac{1}{2} (1 + \cos \frac{k\pi}{r}) - \frac{C_p^2}{C_s^2} + 2 \left\{ \sin \frac{k\pi}{r} a b \left(\frac{2\pi}{l} \right)^2 \right\} = \frac{\lambda_3}{6} b \left(\frac{2\pi}{l} \right)^2 N_{25}$$

$$N_{12} = \frac{1}{8} \frac{C_p^2}{C_s^2} \frac{\lambda_2}{\lambda_3} + \left(\frac{C_p^2}{C_s^2} - 1 \right) \frac{\lambda_2 \lambda_3}{36} (6 - D_j) \left(\frac{2\pi}{l} \right)^2 - \frac{1}{8} \frac{C_p^2}{C_s^2} \left(\frac{\lambda_2}{\lambda_2} + \frac{\lambda_3}{\lambda_3} \right) D_j \left\{ \sin \frac{k\pi}{r} b \right\}$$

$$N_{14} = N_{22} = - \left(\frac{C_p^2}{C_s^2} - 1 \right) \frac{1}{6} \sin \frac{k\pi}{r} \sin \frac{j\pi}{n} b \left(\frac{2\pi}{l} \right)^2, \quad N_{23} = \frac{1}{8} \left(\frac{C_p^2}{C_s^2} - 1 \right) \frac{1}{2} (1 + \cos \frac{k\pi}{r}) - \frac{C_p^2}{C_s^2} + 2 \left\{ \lambda_3 \bar{D}_k a \left(\frac{2\pi}{l} \right)^2 \right\}$$

$$N_{24} = \frac{1}{8} \frac{\lambda_2}{\lambda_3} \bar{D}_j - (1 - \frac{C_p^2}{C_s^2}) \frac{\lambda_2 \lambda_3}{6} \bar{D}_j \left(\frac{2\pi}{l} \right)^2 - \frac{C_p^2}{C_s^2} \frac{\lambda_2}{\lambda_2} D_j \left\{ \sin \frac{k\pi}{r} b \right\}, \quad \exists \in L_{13}, L_{33}, N_{31}, N_{13}, N_{32}, N_{35}$$

N_{34} は $L_{12}, L_{22}, N_{21}, N_{12}, N_{14}, N_{23}, N_{25}$ は $\exists \in l$ で $\lambda_2, j, n, a \in \lambda_3, k, r, b \in$ ただし $a \in \lambda_3 = 2 \pi k$ で 2 乗の形。EML $C_p = \sqrt{(\lambda + 2\nu)/\rho}$, $C_s = \sqrt{M/\rho}$, M_s, ν_s = 補強筋の剪断弹性係数, 未定形 $y = U, \lambda_2, \lambda_3$ = 各方向の y , z 方向の要素の幅, 厚さ, A_s = 補強筋の断面積, $a = 1 \pm (-1)^j$, $b = 1 \pm (-1)^k$, $D_j = z (1 - \cos \frac{k\pi}{r})$, $\bar{D}_j = 1 - \frac{D_j}{6}$, $\bar{D}_k = 1 - \frac{D_k}{6}$, $\lambda, \mu = \text{Lame's 定数}$, $C_r = \sqrt{M_s/\rho}$, $N_{15} = N_{33}$ 。

以上のように、動的基本式で y, z の断面 2 方向は離散型、 z に変換すれば、 z に定和分離法¹⁰⁾を行って整理すれば、 y に沿う像函数の境界値は z に直接求められる。

$$\text{EML } S_j [f(y)] = \sum_{y=1}^{n-1} f(y) \sin \frac{j\pi y}{n}, \quad R_j [f(y)] = \sum_{y=1}^{n-1} f(y) \cos \frac{j\pi y}{n} + \frac{1}{2} f(n) (-1)^j + \frac{1}{2} f(0)$$

EML $j = 0, n = \frac{n}{2}, R_j = \frac{1}{2} z$ を用い。

(固有方程式) 内部に織維補強筋を有する長方形断面、梁の境界条件は、2 例解法の場合、上下左右の自由面の他、隅点での条件がある。これは境界条件を満足するような位相速度と各波長について計算する(2 例解法)。分散曲線を描くことができる。

$$K_B U_B = 0, \quad U_B \neq 0 \quad \text{if} \quad |K_B| = 0 \quad \cdots (7)$$

EML, $|K_B|$ = 境界条件式の係数, U_B = 境界変数

また、位相速度の y, z , y, z の 2 方向は定和分離法を用いて z に変換すれば、 y に一定の形で z に変換できる。

$$f(y) = \frac{2}{n} \sum_{j=1}^{n-1} S_j [f(y)] \sin \frac{j\pi y}{n}, \quad f(z) = \frac{2}{n} \sum_{j=0}^{n-1} R_j [f(y)] \cos \frac{j\pi y}{n}$$

4. 数値計算例

図3の下の構造は鉄筋なしの場合($A_s=0$)と70%の要素断面積 $\alpha=1/10$ の断面積を有する鉄筋入りの場合($A_s=A_p/10$) $\alpha=7/10$ 、位相速度分散曲線と軸方向変位モードを比較した。

$$B=H=15\text{cm}, E_c=2.1 \times 10^5 \text{kg/cm}^2, \rho=8/\text{g},$$

$$\delta=2.4 \text{t/m}^2, V_c=0.18, V_p=C_p/c_s=1.601$$

$$C_p=3.051 \text{km/sec}, c_s=1.906 \text{km/sec},$$

$$E_s=2.1 \times 10^6 \text{kg/cm}^2, V_s=0.3$$

$$\alpha=B/l, V_E=c/c_s \text{(比速度)}.$$

数値計算には反復法により零判定基準を 10^{-9} に定め、固有方程式を計算しEuler-Bernoulli, Det.の直角不連続的位相速度分散をもとめ、根の行数は有効数字4桁以上で値を比較した。また鉄筋なしの場合の計算結果はE. Volterra⁴⁾の式とF3結果と一致した。

軸方向変位モードは隔天の変位を1として表され、1/3の2n、偶数のものに大小関係はない、変位の断面内分布傾向を比較するために同一の図に示した。モードは一次 $n=1/2$ のモードをめた。

(1) 軸方向曲げ波動

図4から補強材の効果は一次モードで、 α が0.5程度まで比速度 V_E が多少大きくなり、それ以上 α の値を2次、3次のモードにすすむことは無く影響は及ばない。

軸方向変位モードは分散曲線の傾向を見て $\alpha=0.5$ と2.5の場合の2種類 $n=1/2$ のモード、図7、図8から鉄筋の影響は傾向の変化を見ることはできる。

(2) 中心波動。

図5から一次モード $n=1/2$ は $\alpha=2$ 以下のSt. Venantの理論よりもRayleighの波速度に近づくことわかる。また三次のモードは補強材の効果が及ばない。

また図9、図10より $\alpha=1$ と $\alpha=5$ の場合 $n=1/2$ 、軸方向変位の一次モード $n=1/2$ の鉄筋の影響を見ることはできる。

(3) 従波動

図6からの從波動の位相速度分散曲線上における一次モードは鉄筋なしの場合

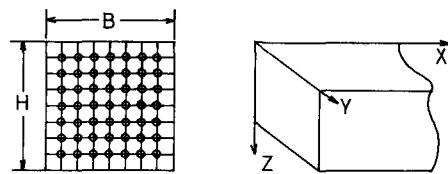


図3 コンクリート平板

Table of Wave Pattern

Wave Pattern	Displacement	With respect to Y axis	With respect to Z axis
Bending Wave in the Z Direction	V	sym.	anti-sym.
	W	sym.	anti-sym.
Bending Wave in the Y Direction	V	anti-sym.	sym.
	W	anti-sym.	sym.
Torsional Wave	V	anti-sym.	anti-sym.
	W	anti-sym.	anti-sym.
Longitudinal Wave	V	sym.	sym.
	W	sym.	sym.

表1 三波動モード

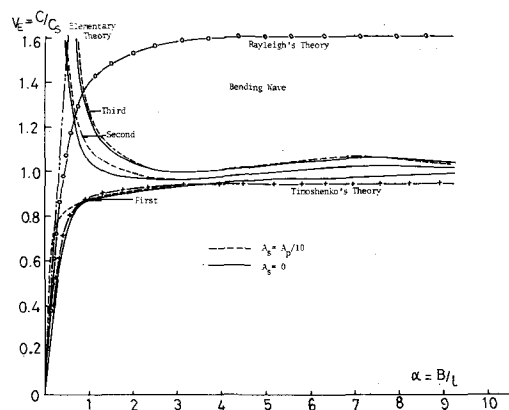


図4 曲げ波動の位相速度分散曲線

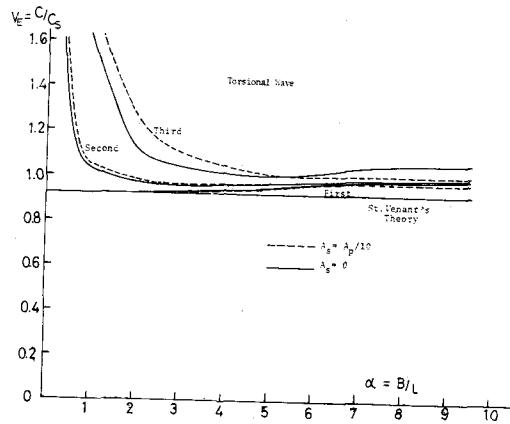


図5 中心波動の位相速度分散曲線

$V_E = 1.6$ (梁の綫波速度) から $\alpha = 2.0$ が極値となり。徐々に上昇して Rayleigh 波速度は近づくが、補強筋を入れた場合、 λ (波長) = 20 で $V_E = 4.5$ となり、分散曲線もかなり複雑となる傾向となり、2 次、3 次モードもとなり筋影響が強くなる。

この場合、軸方向変位モードには示していないが、アーチ補強筋の影響が見られる。

5. 調速度

運動方程式より、伝播速度、力学的意味を持つ群速度 C_g は $C_g = C - l \frac{dc}{dl}$ ($= F$)。次のように群速度 C_g は、波長 λ によって位相速度と同様 $= \frac{dc}{dl}$ を反復法 ($= F$) 計算するによって求めることもできる。 Eqs. (6) 式を用いて群速度を求める方法 $= T_{\text{群}}$ 。

$$L_{11} = \lambda_2 \lambda_3 \bar{D}_p \bar{D}_{k_1} \left\{ -2 \frac{c}{C_p^2} \left(\frac{dc}{dl} \right) \left(\frac{2\pi}{l} \right)^2 - \left(1 - \frac{C^2}{C_p^2} \right) 4 \frac{\pi^2}{l^2} \right\}$$

$$+ 2 \left(1 + k_s \right) \frac{C^2}{C_p^2} A_s \left(-4 \frac{\pi^2}{l^2} \right)$$

$$L_{12} = \left(1 - \frac{C^2}{C_p^2} \right) \lambda_3 \sin \frac{2\pi}{l} \bar{D}_{k_1} \left(-\frac{2\pi}{l^2} \right)$$

$$L_{22} = \lambda_2 \lambda_3 \bar{D}_{k_1} \bar{D}_{k_2} \left\{ -2 \frac{c}{C_p^2} \left(\frac{dc}{dl} \right) + \left(1 - \frac{C^2}{C_p^2} \right) \left(-4 \frac{\pi^2}{l^2} \right) \right\} = L_{33}$$

$$L_{23} = L_{32} = 0,$$

$$N_{11} = - \frac{\lambda_2 \lambda_3}{36} \left\{ -2 \frac{c}{C_p^2} \left(\frac{dc}{dl} \right) \left(\frac{2\pi}{l} \right)^2 - 4 \frac{\pi^2}{l^2} \left(1 - \frac{C^2}{C_p^2} \right) \right\}$$

$$\times \sin \frac{2\pi}{l} \sin \frac{kx}{r} ab.$$

$$N_{21} = \frac{\lambda_2}{6} \left(\frac{C^2}{C_p^2} - 1 \right) \frac{1}{2} \left(1 + \cos \frac{kx}{r} \right) + 2 - \frac{C^2}{C_p^2} \sin \frac{2\pi}{l} ab \left(-\frac{2\pi}{l^2} \right)$$

$$= \frac{\lambda_2}{6} b \left(-\frac{2\pi}{l^2} \right) N_{25}$$

$$N_{12} = \frac{\lambda_2 \lambda_3}{6} \bar{D}_p \left\{ 2 \frac{c}{C_p^2} \left(\frac{dc}{dl} \right) \left(\frac{2\pi}{l} \right)^2 + 4 \frac{\pi^2}{l^2} \left(1 - \frac{C^2}{C_p^2} \right) \right\} \sin \frac{kx}{r} b$$

$$N_{14} = - \left(1 - \frac{C^2}{C_p^2} \right) \lambda_3 \sin \frac{2\pi}{l} \sin \frac{kx}{r} b \left(-\frac{2\pi}{l^2} \right) = N_{22}$$

$$N_{33} = - \left(\frac{C^2}{C_p^2} - 1 \right) \frac{\lambda_2}{6} \sin \frac{kx}{r} \sin \frac{2\pi}{l} a \left(-\frac{2\pi}{l^2} \right) = N_{15}$$

$$N_{23} = \frac{1}{6} \left(\frac{C^2}{C_p^2} - 1 \right) \frac{1}{2} \left(1 + \cos \frac{kx}{r} \right) + 2 - \frac{C^2}{C_p^2} \lambda_3 \bar{D}_{k_1} a \left(-\frac{2\pi}{l^2} \right)$$

$$N_{24} = + \frac{\lambda_2 \lambda_3}{6} \bar{D}_p \left\{ 2 \frac{c}{C_p^2} \left(\frac{dc}{dl} \right) + \left(1 - \frac{C^2}{C_p^2} \right) \left(4 \frac{\pi^2}{l^2} \right) \right\} \sin \frac{kx}{r} b$$

すなはち $L_{13}, L_{33}, N_{31}, N_{13}, N_{15}, N_{32}, N_{25}, N_{34}$ は $L_{12}, L_{22}, N_{21}, N_{12}, N_{14}, N_{23}, N_{24}, N_{25}$ と $\lambda_2, \lambda_3, k, n, a \equiv \lambda_3, k, r, b \equiv$ 等しい。また境界条件式は同じくも同様である。

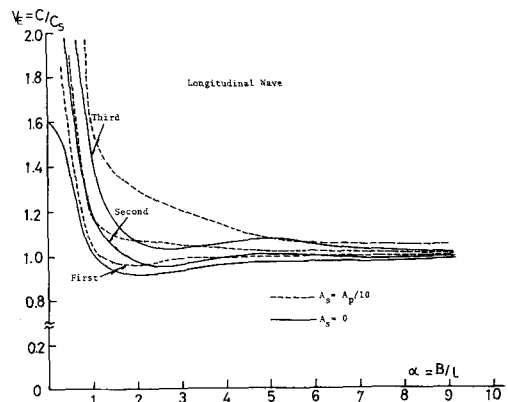


図 6 伝達係数 α 位相速度分散曲線

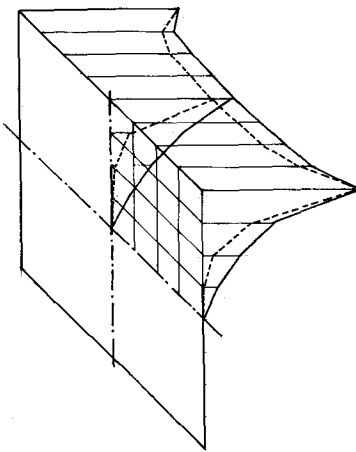


図 7 曲げ波動の一様モード ($\alpha = 0.5$ の場合)
(実線 $A_s = 0$, 破線 $A_s = A_p/10$)

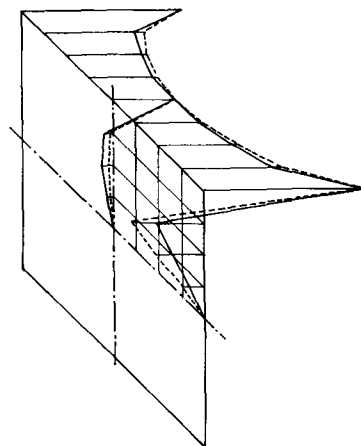


図 8 曲げ波動の一様モード ($\alpha = 2.5$ の場合)
(実線 $A_s = 0$, 破線 $A_s = A_p/10$)

6. 結論

以上、内部に規則的で軸方向補強なしの鉄筋コンクリート長方形断面梁の位相速度分散は ≈ 112 理論式と数値計算結果とを報告した。

本論文の応用としては、平板構造における他の境界条件への応用、不均一弹性体、非弾性干構造への応用、板補強板の偏心による構造の振動解析などである。

参考文献

- 1) S. G. Nomachi, T. Ohshima; On the Stress Analysis of the Beams with Rectangular Cross Section by Means of Finite Prism Method, Proc. of 24th Japan National Congress for Applied Mechanics, 1974.
 - 2) L. Rayleigh; The Theory of Sound, New York, Vol. I, Chapter VIII.
 - 3) S. P. Timoshenko; On the Correction for Shear of the Differential Equation for Transverse Vibration of Prismatic Bars, Philos. Mag., 23 (1942) p. 44.
 - 4) E. Volterra; A One-dimensional Theory of Wave Propagation in Elastic Rods Based on the Method of Internal Constraints, Ingenieur-Archiv, 1955, Bd. 23, p. 410.
 - 5) R. D. Mindlin; Influence of Rotatory Inertia and Shear on Flexural Motions of Isotropic Elastic Plates, Journal of Applied Mechanics, p. 31, March, 1951.
 - 6) O. L. Engström; Dispersion of Torsional Waves in Uniform Elastic Rods, Journal of Applied Mechanics, 1974, Dec. p. 1041.
 - 7) 井口慶義: 相手2回の単純支承他2辺が自由な3次元矩形棒の振動問題、土木学会論文報告第26巻、第4号、p. 427, 1940.
 - 8) Ewing, Jardetsky, Press; Elastic Wave in Layered Media, McGraw-Hill (1957).
 - 9) 能町・大島: 内部に軸方向補強板を有する梁の波動分散曲線 ≈ 112 , 第26回応用力学連合講演会講演集, 1976.
 - 10) S. G. Nomachi, K. G. Matsuoka; Applications of Finite Fourier Integration Transforms for Structural Mechanics, Proc. of the 20th Japan National Congress for Applied Mechanics, 1970.
 - 11) 能町・角田・岸; 薄肉H形断面柱の弹性波の位相速度 ≈ 112 , 土木学会論文報告集 第244号, 1975.
 - 12) K. G. Matsuoka, S. G. Nomachi; On Stress Wave of a Cylinder Embedded in an Elastic Medium, Proc. of the 24th Japan National Congress for Applied Mechanics, 1974.
- 本論文の数値計算は、北大型計算機BES-3A FACOM 230-75と東大大型計算機BES-3A HITAC 8800/8700を用いて行った。= 112 L2 謝意を表す。

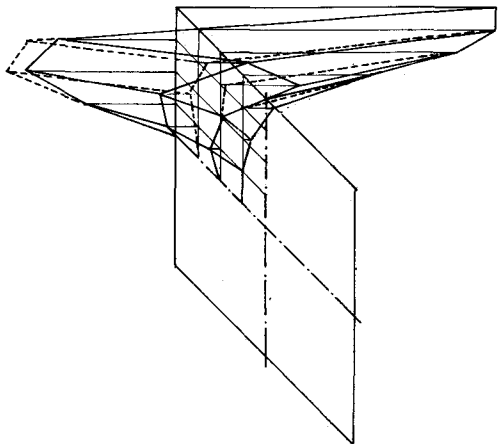


図9.ねじり振動の一次モード
($\alpha=1\alpha$ の場合)
(実線 $A_s=0$, 破線 $A_s=A_p/10$)

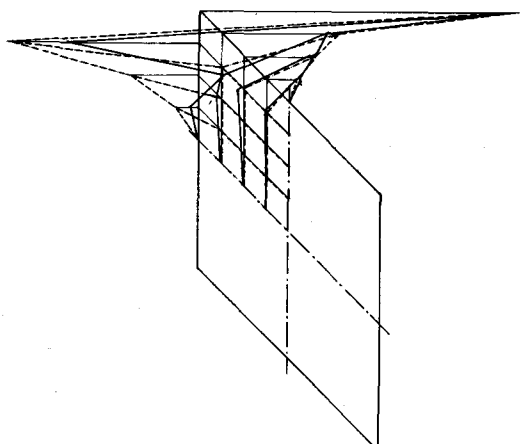


図10.ねじり振動の一次モード
($\alpha=5\alpha$ の場合)
(実線 $A_s=0$, 破線 $A_s=A_p/10$)